

ЧИСЛЕННЫЕ ИССЛЕДОВАНИЯ ПРОЦЕССА ВЫТЕСНЕНИЯ НЕФТИ ВОДОЙ ИЗ ПЛАСТА*

В. И. ДРОБЫШЕВИЧ, С. А. ЛИТВИНЕНКО

Институт вычислительной математики

и математической геофизики СО РАН, Новосибирск, Россия

e-mail: drob@sscc.ru, litvin@labchem.sccc.ru

In this paper we consider a two-phase filtration model of the incompressible fluid. The model accounts for the effects of capillary pressure and gravitational force. A balanced monotonic finite difference scheme is developed and an effective algorithm for its realization is proposed.

1. Постановка задачи

Будем рассматривать процесс фильтрации двухфазной жидкости, состоящей из воды и нефти, сквозь пористую среду. Пласт считается однородным и тонким, что позволяет использовать для анализа двухмерную модель. Простейшей моделью двухфазной фильтрации является модель Баклея—Левретта. Учет же капиллярных сил приводит к более сложной модели Маскета—Левретта. Хороший обзор различных моделей фильтрации имеется в монографиях [1, 2]. Различные аспекты численного решения задач фильтрации обсуждаются в работах [1–4].

Задача двухфазной фильтрации несжимаемых жидкостей в пористой однородной среде рассматривается в двухмерной XZ -постановке [1]. В этом случае пористость m , плотности фаз ρ_i , динамические вязкости μ_i ($i = 1$ (нефть), 2 (вода)) не зависят от t, x, z . Течение происходит в двухмерной XZ области $\Omega = [0, L_x] \times [0, L_z]$ (рис. 1). Внешняя граница области $\gamma = \partial\Omega = \gamma_0 \cup \gamma_1 \cup \gamma_2$ ($\gamma_1 \cap \gamma_2 = \emptyset$). На части границы γ_1 длиной L_1 задается входной поток Q [м²/с], а на γ_2 длиной L_2 — выходной поток $-Q$. На γ_0 ставится условие непротекания.

Используются следующие законы и соотношения:

— уравнение неразрывности i -й фазы, деленное на ρ_i ,

$$m \frac{\partial S_i}{\partial t} + \operatorname{div} (\vec{W}_i) = 0, \quad (1)$$

где S_i — насыщенность i -й фазы, $S_1 + S_2 = 1$, \vec{W}_i — скорость фильтрации i -й фазы, m — пористость слоя. Обозначим через $S = S_2$, $S_1 = 1 - S$;

*Работа выполнена при финансовой поддержке Российского фонда фундаментальных исследований (грант № 07-01-00164-а).

© Институт вычислительных технологий Сибирского отделения Российской академии наук, 2007.

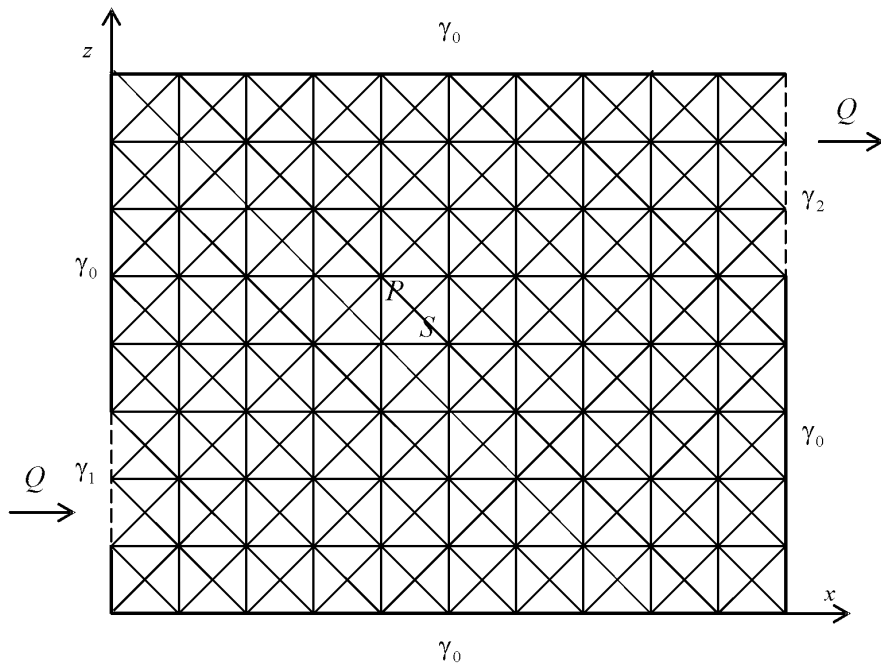


Рис. 1. Расчетная область

— обобщенный закон Дарси. Фазовые потенциалы, если ось z направлена против силы тяжести, можно записать в виде

$$\phi_i = P_i + \rho_i g z,$$

тогда

$$\vec{W}_i = -k_0 \frac{f_i(S)}{\mu_i} \nabla(\phi_i) = -k_i(S) (\nabla(P_i) + \rho_i g \vec{e}_2),$$

где k_0 — коэффициент проницаемости, $f_i(S)$ — относительные фазовые проницаемости, характеризующие зависимость скорости фильтрации от водонасыщенности, μ_i — коэффициент динамической вязкости, $\vec{e}_2 = (0, 1)^T$;

— соотношение на капиллярные давления

$$P_1 - P_2 = P_k(S),$$

где $P_k(S)$ — капиллярное давление. Капиллярное давление, как и относительные фазовые проницаемости, является экспериментально измеряемой функцией водонасыщенности. Пусть $0 < \underline{S} < \bar{S} < 1$. Тогда $f_1(S) = 0$ при $\bar{S} \leq S \leq 1$, а $f_2(S) = 0$ при $0 \leq S \leq \underline{S}$. Кроме того, имеет место неравенство

$$k(S) = k_1(S) + k_2(S) \geq \underline{k} > 0, \quad 0 \leq S \leq 1.$$

Определим $P = P_2$. Так как

$$P'_k = \frac{dP_k}{dS} \leq 0, \quad \nabla P_1 = \nabla P - P_s(S) \nabla S, \quad P_s(S) = |P'_k|.$$

Таким образом

$$\begin{aligned}\vec{W}_2 &= -k_2(S) \nabla(P) - k_2(S) \rho_2 g \vec{e}_2, \quad \vec{W}_1 = -k_1(S) (\nabla(P) - Ps(S) \nabla S + \rho_1 g \vec{e}_2), \\ \vec{W} &= \vec{W}_1 + \vec{W}_2 = -k(S) \nabla(P) + k_1(S) Ps(S) \nabla S - g(k_1(S) \rho_1 + k_2(S) \rho_2) \vec{e}_2.\end{aligned}\quad (2)$$

Обозначим $k(S) = k_1(S) + k_2(S)$. Складывая два уравнения (1), заменяя \vec{W} по закону Дарси (2), получим эллиптическое уравнение для определения давления

$$-\operatorname{div}(k(S)) \nabla P = -\operatorname{div}(k_1(S) Ps(S) |\nabla S) + g(\rho_1 \frac{\partial k_1(S)}{\partial z} + \rho_2 \frac{\partial k_2(S)}{\partial z}) \quad (3)$$

и параболическое уравнение для определения водонасыщенности

$$m \frac{\partial S}{\partial t} - \operatorname{div}(k_2(S) \nabla P) - g \rho_2 \frac{\partial k_2(S)}{\partial z} = 0. \quad (4)$$

Как уже отмечалось, суммарный входной и выходной поток жидкости равен Q . На вход подается только вода и $Q_{2\text{in}} = Q$, $Q_{1\text{in}} = 0$. На выходе первое время вытекает нефть, а затем смесь воды и нефти. Зададим [1]: $Q_{1\text{out}} = Q k_1(s)/k(s)$, $Q_{2\text{out}} = Q k_2(s)/k(s)$.

Пусть \vec{n} — единичный вектор внешней к области нормали. Тогда имеем

$$-\vec{W} \cdot \vec{n} = Q/L_1, \quad z \in \gamma_1; \quad -\vec{W} \cdot \vec{n} = -Q/L_2, \quad z \in \gamma_2; \quad -\vec{W} \cdot \vec{n} = 0, \quad z \in \gamma_0; \quad (5)$$

$$-\vec{W}_2 \cdot \vec{n} = Q/L_1, \quad z \in \gamma_1; \quad -\vec{W}_2 \cdot \vec{n} = -\frac{Q \cdot k_2(s)}{L_2 \cdot k(s)}, \quad z \in \gamma_2; \quad -\vec{W}_2 \cdot \vec{n} = 0, \quad z \in \gamma_0. \quad (6)$$

Таким образом, для определения давления P решается эллиптическое уравнение (3) с граничными условиями второго рода (5), а для определения водонасыщенности S — параболическое уравнение (4) с граничными условиями (6) и начальными данными $P(0, x, z) = 0$, $S(0, x, z) = S^0(x, z)$. Эллиптическое уравнение с граничными условиями второго рода имеет неединственное решение. Параболическое уравнение является уравнением с вырождающимся коэффициентом диффузии.

2. Разностная схема и алгоритм решения

Будем решать задачу (3)–(6) в прямоугольнике со сторонами L_x, L_z . Область разбивается на расчетные ячейки координатными линиями $ih_x, i = 0, \dots, N; jh_z, j = 0, \dots, L; h_x = L_x/N, h_z = L_z/L$. Объем расчетной ячейки равен $V_h = h_x h_z$. Расчетные узлы находятся в центре расчетной ячейки $x_i = (i - 1/2)h_x, i = 1, \dots, N, z_j = (j - 1/2)h_z, j = 1, \dots, L, S^0(x, z) = 0.2$. Разностная схема строится интегрированием уравнений (4), (6) по каждой расчетной ячейке с учетом граничных условий (5), (6) $\frac{1}{V_h} \int_{V_h} dV$. Предполо-

жим, что $L_1 = L_2 = h_z$ и j_1 — номер ячейки входа, а j_2 — номер ячейки выхода.

Тогда на n -м временном шаге получаем систему алгебраических уравнений:

$$\begin{aligned}A(s^n) p^n &= B(s^n) s^n + Q/V_h|_{j_1} - Q/V_h|_{j_2}, \\ s^n &= s^{n-1} - \tau C(s^n) p^n + \tau \left(Q/V_h|_{j_1} - \frac{k_2(s^n)}{k(s^n)} Q/V_h|_{j_2} \right).\end{aligned}$$

Неявная система уравнений итерируется: $s^{n,0} = s^{n-1}$, $p^{n,0} = p^{n-1}$.

$$A(s^{n,k})p^{n,k+1} = B(s^{n,k})s^{n,k} + Q/V_h|_{j_1} - Q/V_h|_{j_2}, \quad (7)$$

$$s^{n,k+1} = s^{n-1} - \tau C(s^{n,k})p^{n,k+1} + \tau \left(Q/V_h|_{j_1} - \frac{k_2(s^{n,k})}{k(s^{n,k})} Q/V_h|_{j_2} \right). \quad (8)$$

Матрицы A , B , C — симметричные, положительно полуопределенные. Уравнение (7) на каждом шаге итераций по s решаем итерационно переобусловленным методом сопряженных градиентов [5]. В качестве переобусловливателя берется симметричная положительно полуопределенная матрица R , соответствующая пятиточечной аппроксимации оператора Лапласа в прямоугольнике с краевыми условиями второго рода. Поскольку $ker A = ker R$, то решение задачи (7) лежит в подпространстве $im A$ [5]. После окончания итераций для выделения единственного решения проводилась его перенормировка.

Для нахождения решения этой задачи с матрицей переобусловливателя R в сеточной области применяется хорошо известный метод разделения переменных с применением быстрого дискретного преобразования Фурье при разложении решения по собственным функциям разностного оператора по z [6]. Уравнение (8) решается по явным формулам.

3. Результаты моделирования

Расчеты проводились в области с $L_x = 100$ м и $L_z = 25$ м. При этом вход воды производился в ячейке $x = 0.0$, $z = 0.0$ или $x = 0.0$, $z = L_z$, а отбор нефти — всегда в ячейке $x = L_x$, $z = L_z$. Расчеты проводились при $h_x = h_z = 1$ м и $L_1 = L_2 = h_z$, $m = 0.5$. Полный объем нефти в слое $V_f = 10^3$ м³. Расход воды менялся от 10^{-1} до 10^{-4} м³/с. Для того чтобы обеспечить такие расходы, требуется значительный перепад давления между входной и выходной ячейками. При расходе воды 10^{-1} перепад давления необходим $1.2 \cdot 10^8$ Па, 10^{-2} — $1.4 \cdot 10^7$ Па, 10^{-3} — $1.8 \cdot 10^6$ Па, 10^{-4} — $2.5 \cdot 10^5$ Па (2.5 атм).

При этом использовались следующие параметры модели:

$$k_0 = 3.06 \cdot 10^{-12} \text{ м}^2, \mu_1 = 9.28 \cdot 10^{-4} \text{ кг/(м} \cdot \text{с)}, \mu_2 = 1.15 \cdot 10^{-4} \text{ кг/(м} \cdot \text{с)}.$$

Для относительных фазовых проницаемостей использовались формулы [1]:

$$f_1(S) = \begin{cases} 1 & \text{при } (0 < S \leq \underline{S}), \\ \left(\frac{\bar{S} - S}{\bar{S} - \underline{S}} \right)^3 & \text{при } (\underline{S} \leq S \leq \bar{S}), \\ 0 & \text{при } (\bar{S} \leq S < 1), \end{cases} \quad f_2(S) = \begin{cases} 0 & \text{при } (0 < S \leq \underline{S}), \\ \left(\frac{S - \underline{S}}{\bar{S} - \underline{S}} \right)^3 & \text{при } (\underline{S} \leq S \leq \bar{S}), \\ 1 & \text{при } (\bar{S} \leq S < 1), \end{cases}$$

$$\bar{S} = 0.8, \underline{S} = 0.2.$$

Модуль производной от функции Леверетта задавался в виде:

$$|P'_k(S)| = k_p (0.072/S^2 + 0.5), \quad k_p = 2.8 \cdot 10^5 \text{ кг/(м} \cdot \text{с}^2).$$

Из уравнения (4), граничных условий (5) и начальных условий легко получается балансное соотношение:

$$m \int_{\Omega} (S(t, x, z) - S^0(0, x, z)) \partial \Omega = Qt - \frac{Q}{L_2} \int_0^t \int_{\gamma_2} \frac{k_2(S(t'))}{k(S(t'))} \partial \gamma_2 \partial t'. \quad (9)$$

Таким образом, количество вышедшей из слоя нефти за время t равно $V_p(t)$, т. е. равно полному объему закачанной воды минус количество воды в выходном потоке за это же время.

На рис. 2 показано распределение по времени доли закачанной воды Qt/V_f и вышедшей нефти $V_p(t)/V_f$ относительно полного запаса нефти в слое.

Как видно, до появления воды в выходном потоке эти доли совпадают, а затем доля вышедшей нефти быстро выходит на стационар.

Прорыв воды происходит, когда относительная доля закачанной воды равна 0.3265–0.373 в зависимости от режима, а полная доля отобранной нефти равна 0.5–0.55.

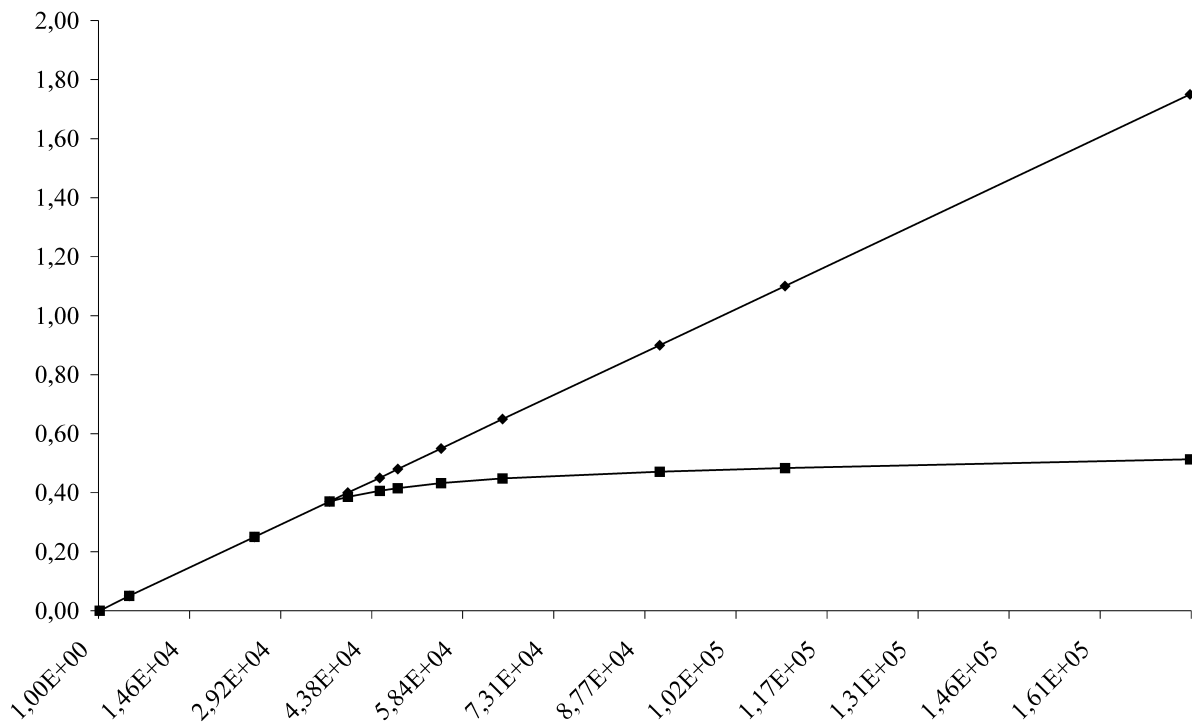


Рис. 2. Доли закачанной воды (линия \blacklozenge) и вышедшей нефти (линия \blacksquare)

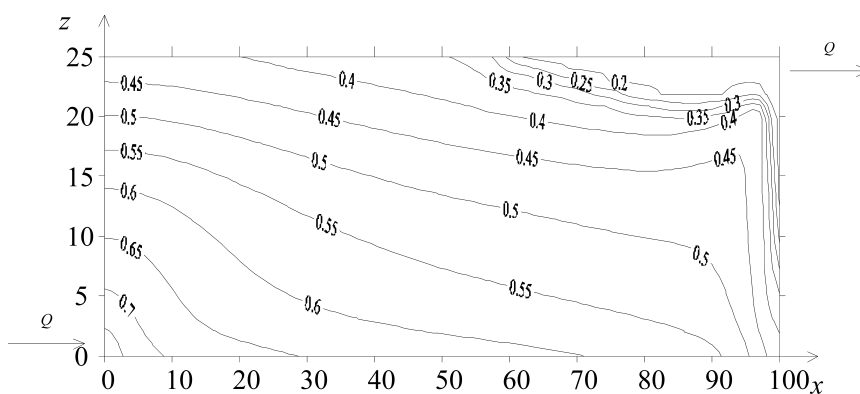


Рис. 3. Распределение водонасыщенности в слое

Распределение водонасыщенности в слое по времени практически не зависит от того, происходит ввод воды в ячейке ($x = 0, z = 0$) или в ячейке ($x = 0, z = L_z$) (выход воды всегда в ячейке ($x = L_x, z = L_z$)).

Сначала идет заполнение водой слоя вблизи линии $x = 0$, затем вода движется по дну ($z = 0$). И только потом язык воды прорывается к точке выхода (рис. 3).

Список литературы

- [1] КОНОВАЛОВ А.Н. Задачи фильтрации многофазной несжимаемой жидкости. Новосибирск: Наука, 1988. 166 с.
- [2] ЖУМАГУЛОВ Б.Е., МОНАХОВ В.Н. Гидродинамика нефтедобычи. Алматы: Изд-во КазгосИНТИ, 2001. 336 с.
- [3] ЧЕКАЛИН А.Н. Численные решения задач фильтрации в водонефтяных пластах. Казань: Изд-во Казанского университета, 1982. 207 с.
- [4] ТРАПЕЗНИКОВА М.А., ЧУРБАНОВА Н.Г. Моделирование процесса нефтедобычи явными и неявными численными методами // Математическое моделирование. 1997. Т. 9, № 6. С. 53–66.
- [5] ВОЕВОДИН В.В., КУЗНЕЦОВ Ю.А. Матрицы и вычисления. М.: Наука, 1984. 318 с.
- [6] САМАРСКИЙ А.А., НИКОЛАЕВ Е.С. Методы решения сеточных уравнений. М.: Наука, 1978. 592 с.

*Поступила в редакцию 9 апреля 2007 г.,
в переработанном виде — 24 мая 2007 г.*